

T.	Image	Cl.	U _f		U _b	R _{g2+1} (R _{gT})	U _d	U _{g2+1}	U _{g3}	U _{g1}	I _u	I _{g2+1}	I _{g3}	S _c (S)	R _t	R _{g3}	R _k	
			V	A														kΩ
ECH 4	eur	mixer—hept. mixer—hept. mixer—hept. A 1 (Ξ)—hept. A 1 (Ξ)—hept. A 1 (Ξ)—hept.	1	6,3	0,45	100	15,5	100	5	—5	—1 ÷ —14	1,5	3	0,075	585 ÷ 5,8	1	50	150
			2	6,3	0,45	200	15,5	200	—9,5	—9,5	—2 ÷ —28	3,5	6,5	0,19	750 ÷ 7,5	1	50	150
			3	6,3	0,33	250	24	250	—9,5	—9,5	—2 ÷ —24,5	3	6,2	0,19	750 ÷ 7,5	1,4	50	150
			4	15	0,15	100	30	100	0	0	—1 ÷ —15	2,6	1,9		2000 ÷ 20	0,7		
			5	20	0,1	200	30	200	0	0	—2 ÷ —28	5,2	3,5		2200 ÷ 22	0,7		
UCH 5	eur	stat.—hept. stat.—hept. osc.—triiod. osc.—triiod. stat.—triiod. stat.—triiod.	250			45	250	0	0	—2 ÷ —36	5,3	3,5		2200 ÷ 22	0,9			
			250			100	100	(20)	100	100	maximum UCH 4/15/21 (U _{fik} = 150 V)	1,9	0,095	(440)		50		
			300			200	200	(20)	200	200	maximum ECH 4/21	4,1	0,19	(450)		50		
UCH 21	eur	osc.—triiod. osc.—triiod. stat.—triiod. stat.—triiod.	250			20	250	0	0		4,5	0,19	(550)		50			
			175			100	100	(20)	100	0		12		(3200)	(μ=22)	50		
			175			175	175		175	0		maximum (P _a = 0,8 W)						
ECH 81	eur	mixer—hept. mixer—hept. mixer—hept. mixer—hept. A 1 (Ξ)—hept. A 1 (Ξ)—hept. A 1 (Ξ)—hept.	100			10	100	—5,5	—5,5	—1,2 ÷ —14,5	1,7	3,7	0,115	620 ÷ 6,2	0,8	47	150	
			170			10	170	—9,5	—9,5	—2,2 ÷ —24	3,2	6,8	0,2	750 ÷ 7,5	0,9	47	150	
			200			10	200	—11	—11	—2,6 ÷ —28	3,7	8,1	0,23	775 ÷ 7,7	1 (Fig. 1)	47	150	
			250			22	250	—9,5	—9,5	—2 ÷ —28,5	3,25	6,7	0,2	775 ÷ 7,7	1 (Fig. 2)	47	140	
			250			18	250	—9,5	—9,5	—1,9 ÷ —28,5	3	8,5	0,2	750 ÷ 7,5	1	47	140	
HCH 81	eur	A 1 (Ξ)—hept. A 1 (Ξ)—hept. A 1 (Ξ)—hept. A 1 (Ξ)—hept. stat.—hept. stat.—hept.	100	6,3	0,3	100	18	100	0	—1,2 ÷ —16,5	3,4	2,2		(2000 ÷ 20)	0,5	47	220	
			170			18	170	18	170	0	—2,2 ÷ —33	6,2	3,8		2300 ÷ 23	0,6	47	220
			200			18	200	18	200	0	—2,6 ÷ —28	7,6	4,3		2400 ÷ 24	0,6	47	220
UCH 81	eur	A 1 (Ξ)—hept. stat.—hept. osc.—triiod. osc.—triiod. osc.—triiod. stat.—triiod. stat.—triiod.	250	12,6	0,15	39	250	100	100	—2 ÷ —42	6,5	3,8		2400 ÷ 24	0,7	47	200	
			250			250	250	250	250	250	maximum HCH/UCH 81	2,5	0,12	(530)		47		
			300			300	300	300	300	300	maximum ECH 81	4,5	0,2	(530)		47		
			100			100	100	100	100	100	0	5,4	0,24	(580)		47		
			250			250	250	250	250	250	0	4,5	0,2	(650)		47		
6 TE 8-GT	Fiv	mixer—hept. mixer—hept. A 1 (Ξ)—hept. A 1 (Ξ)—hept. stat.—hept. osc.—triiod. stat.—triiod.	100			(15)	100	100	—10	—10	—1,25	2,6	0,2	450	1	50	0	
			170			(15)	170	170	—10	—10	—2	3,7	3,8	650	1	50	0	
			200			(15)	200	200	0	0	—1 ÷ —9	2,4	1,1	(1800 ÷ 18)	0,36	50	0	
			250			(15)	250	250	0	0	—2 ÷ —27	6,7	1,5	(2600 ÷ 26)	0,6	50	0	
			250			(15)	250	250	0	0	0	maximum (I _k = 16 mA)	3,4	0,2			50	
12 TE 8-GT	Fiv	osc.—triiod. osc.—triiod. stat.—triiod.	100				100	100	—12,5	—12,5	0	3,6	0,25	850 ÷ 8,5	0,9	50	0	
			100				100	100	0	0	—2 ÷ —20	7	2,3	2800 ÷ 100	0,9	50	0	
			100				100	100	0	0	0	15		(3500)	(μ=16)	50	0	
20 D 4	Bri	mixer—hept. A 1 (Ξ)—hept. stat.—triiod.	250	6,3	0,3		250	250	—12,5	—12,5	—2 ÷ —20	3	3,6	850 ÷ 8,5	0,9	50	0	
			250				250	250	0	0	—2 ÷ —20	7	2,3	2800 ÷ 100	0,9	50	0	

T.	C_{g1}		C_a		C_{g3}		$C_{g1/a}$		$C_{g1/g3}$		$C_{g1/f}$		$C_{g3/f}$		$C_{g/k}$		$C_{a/k}$		$C_{gT/g1}$		C_{gT+g3}		$C_{gT+g3/aH}$		$C_{aH/aT}$		$C_{aH/gT}$			
	PF	pF	PF	pF	PF	pF	PF	pF	PF	pF	PF	pF	PF	pF	PF	pF	PF	pF	PF	pF	PF	pF	PF	pF	PF	pF	PF	pF		
ECH 4	{ hept. triiod.	5,6 6	9,2 5,4	8,9	0,002 2,1	0,2	0,001 0,3								3	2,5	0,1	14	0,25	0,1										
ECH 21	{ hept. triiod.	6,8	9,5	8	0,002	0,3	0,007								3,2	2	0,1	12,8	0,35	0,1										
UCH 21	{ hept. triiod.	4,5	3,5	6	1,1	0,06	0,06																							
ECH 81	{ hept. triiod.	4,8	7,9	9,1	0,006	0,3	0,17																							
UCH 81	{ hept. triiod.	2,6	2,1	11,8	1,0	0,02	0,02																							
UCH 4	{ hept. triiod.	5,6	9,7	9,1	0,002	0,3	0,0015																							
6 TE 8-GT	{ hept. triiod.	5,9	5,2	11,8	2,1	0,002	0,3																							
12 TE 8-GT	{ hept. triiod.	4,6	11,6	11,8	0,002	0,3	0,002																							
20 D 4	{ hept. triiod.	4,5	8,2	0,034	0,034																									

Fig. 4

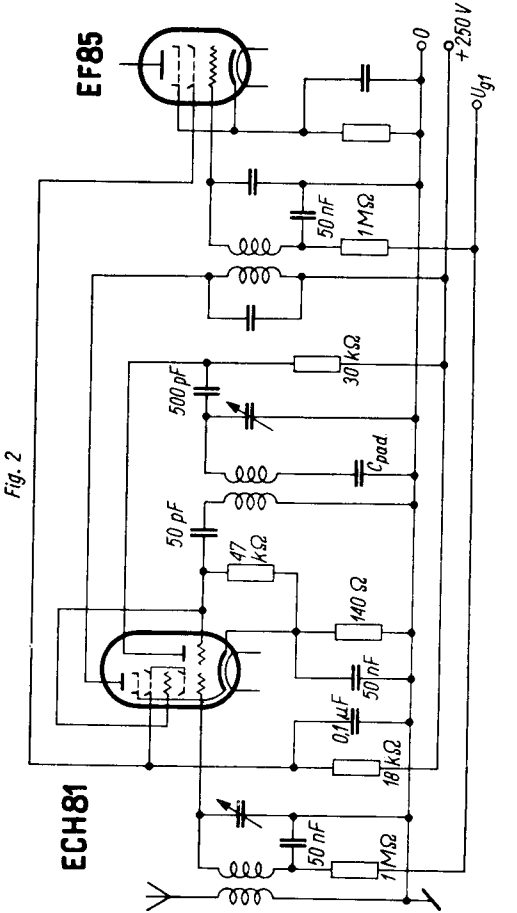
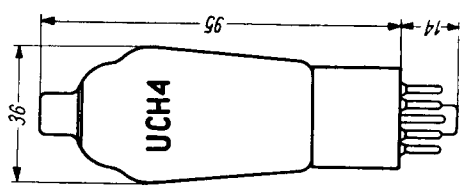
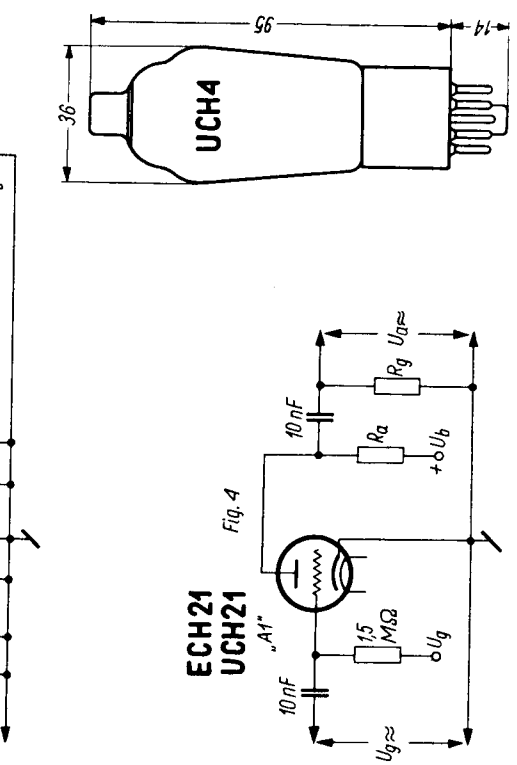
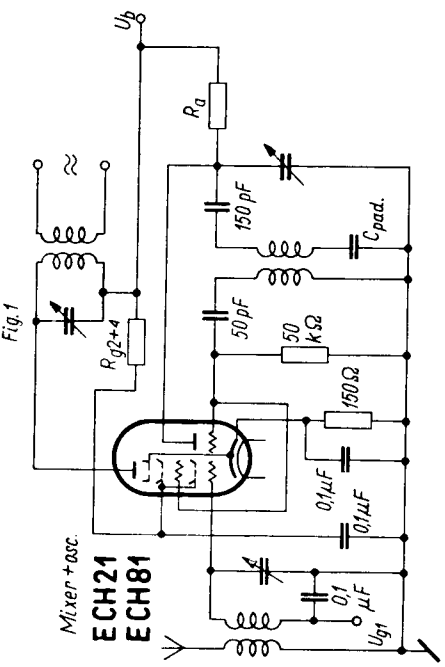
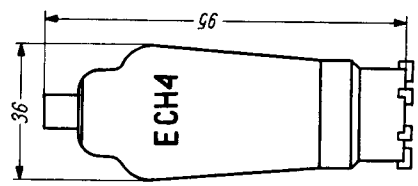
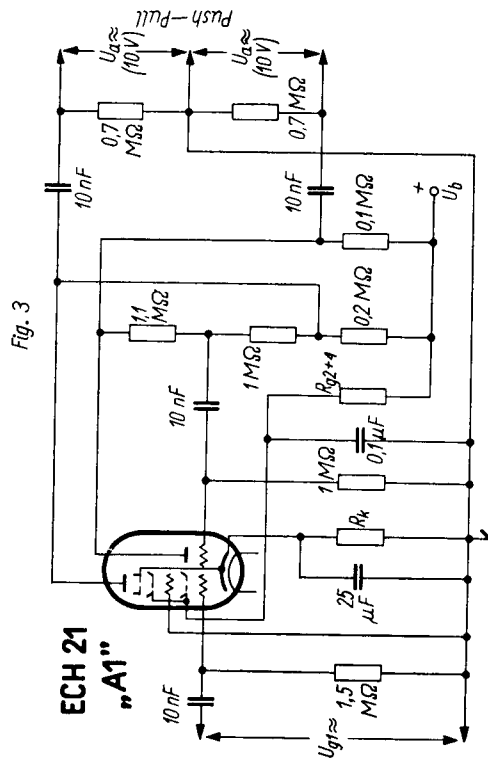
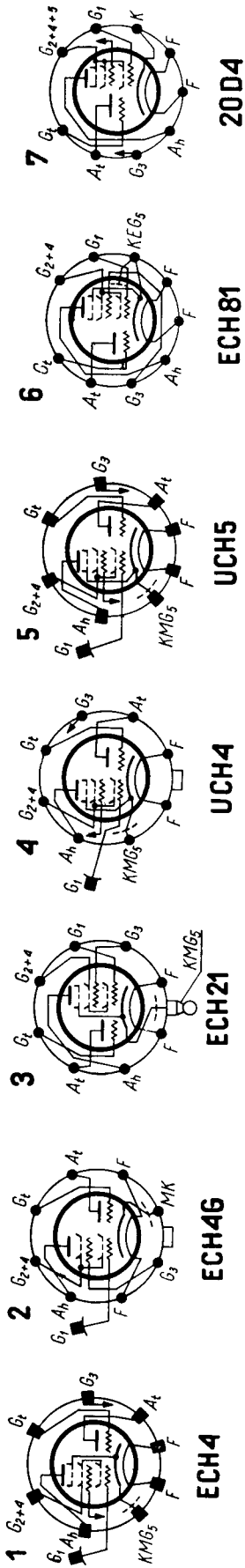
T.	U_b	R_a	U_g	I_a	$U_{a\approx}$	μ	h
ECH 21	100	50	-1	1,3	7,5	11	5,4
	100	100	-1	0,68	7,5	10,5	5,8
	100	200	-1	0,37	7,5	10	6,0
	200	50	-2	2,8	7,5	11	2,2
	200	100	-2	1,5	7,5	10,5	2,8
	200	200	-2	0,8	7,5	10	2,8
	250	50	-4	3	7,5	13	1,5
	250	100	-4	1,7	7,5	13	1,6
	250	200	-4	0,9	7,5	12	2,0
	250	100	-2	2	12	12,5	3,5
	250	100	-4	1,75	30	11,1	6
	250	200	-2	0,97	13	12,5	2,5
ECH 81	250	200	-4	0,85	30	11,3	4,7
	250	200	-2	1	15	15	
	250	200	-4	0,86	12	12	
	250	200	-4	0,86	12	12	

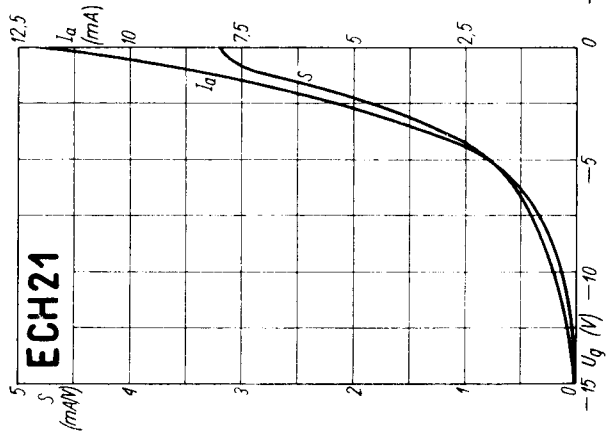
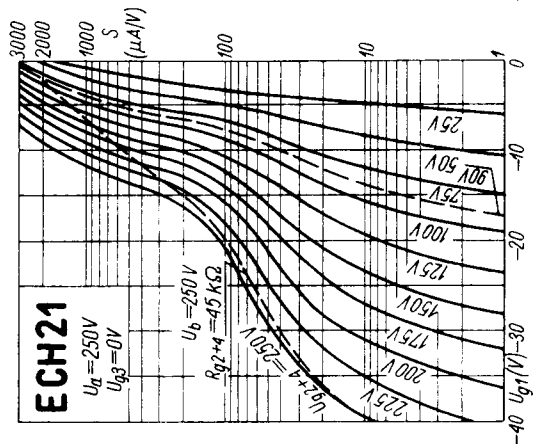
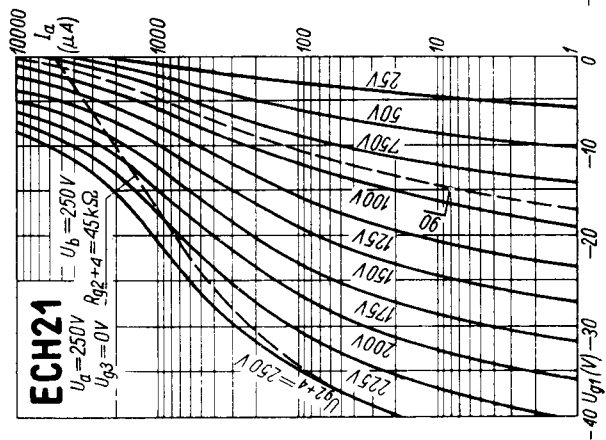
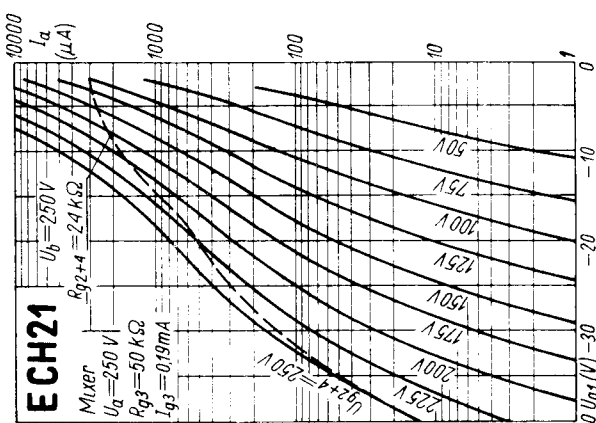
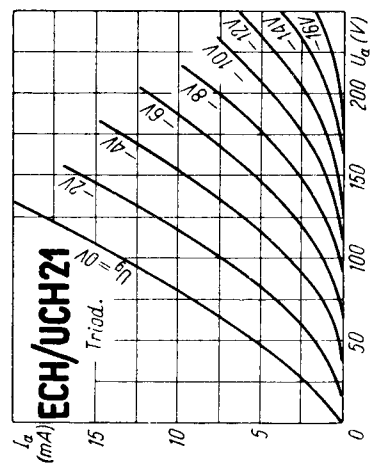
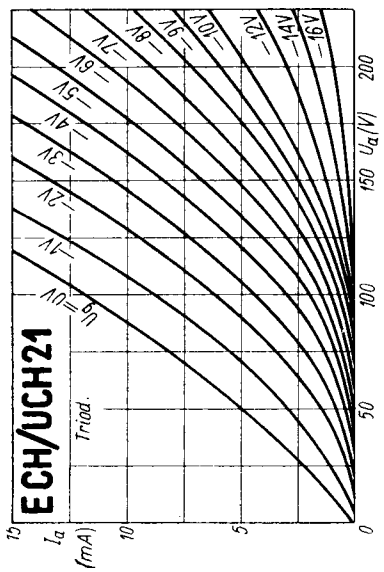
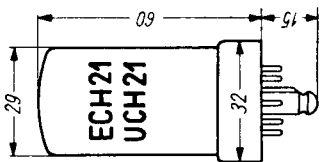
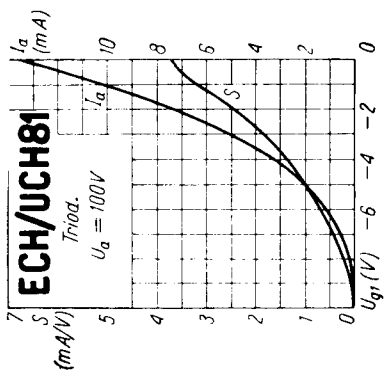
Equivalents

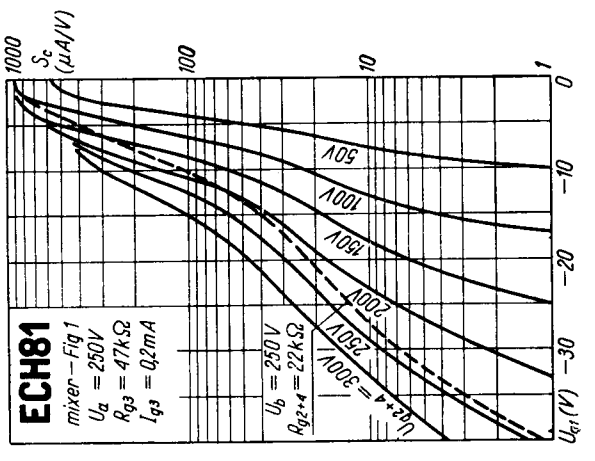
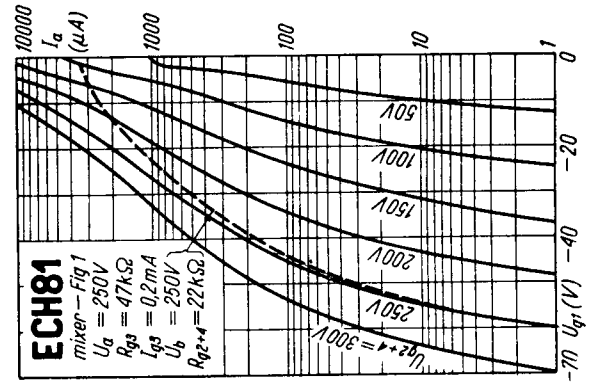
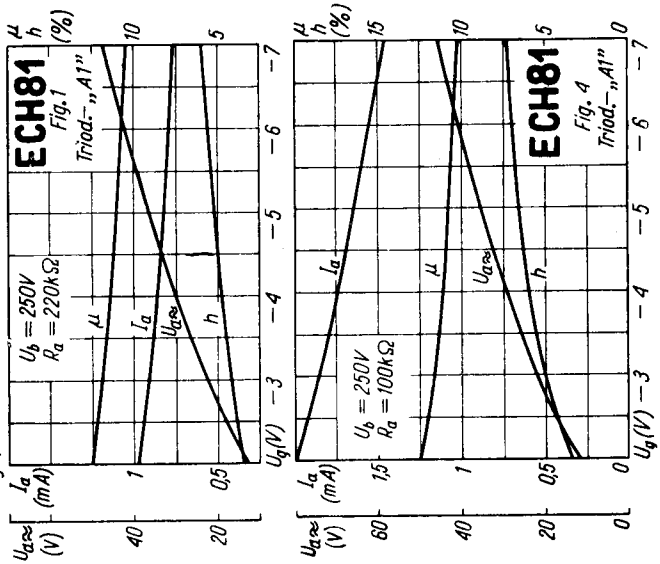
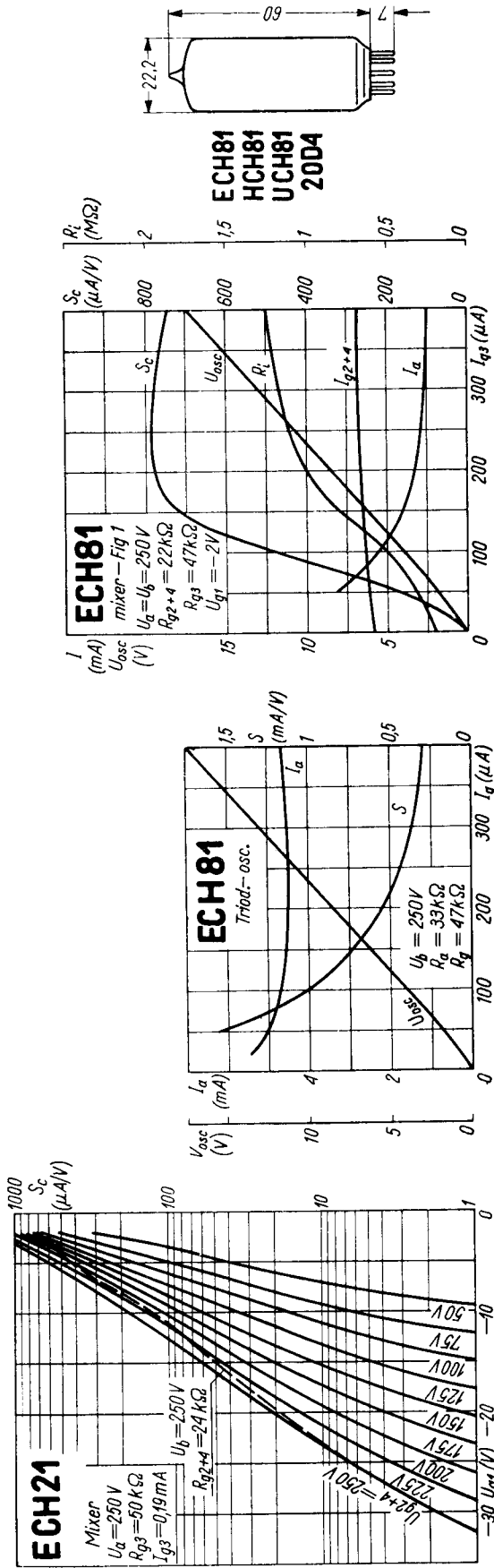
E 1 R	Phl = ECH 4	Tes = ECH 81
ECH 71	Lor = ECH 21	CCCCP = ECH 81
TH 1	BB = ECH 21	Maz = UCH 81
UCH 71	Lor = UCH 21	amer = HCH 81
X 143	Marc = ECH 21	amer = UCH 81
X 719	MOG = ECH 81	amer = UCH 81
6 AJ 8	amer = ECH 81	Phl = UCH 4
		6 CH 40
		6 H 1 II
		10 C 14
		12 AJ 8
		19 AJ 8
		19 D 8
		20 CH 4

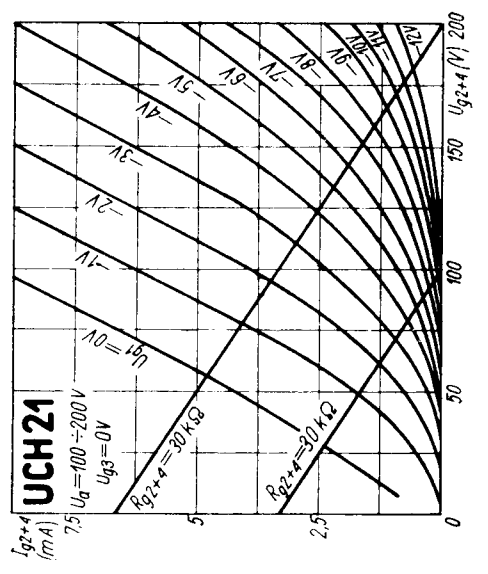
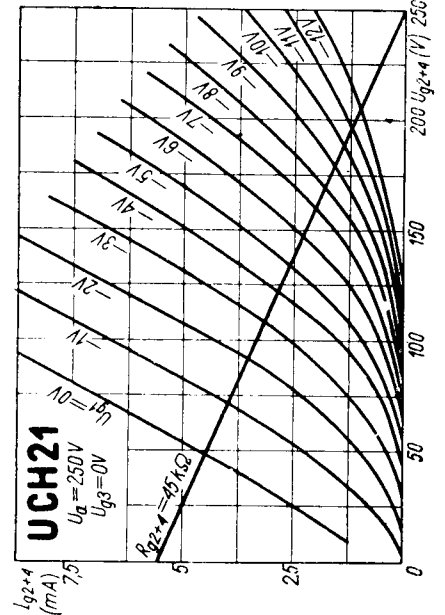
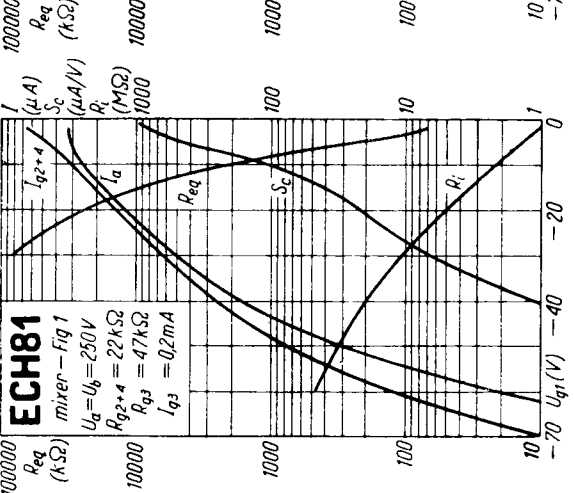
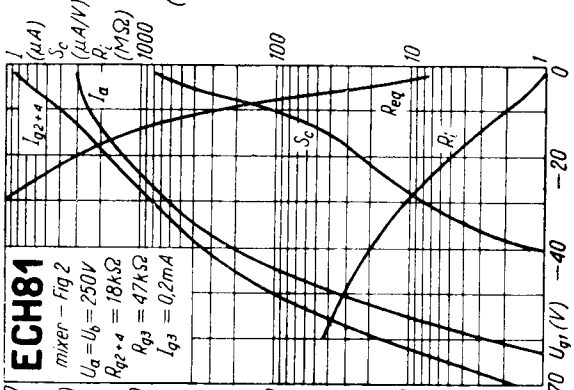
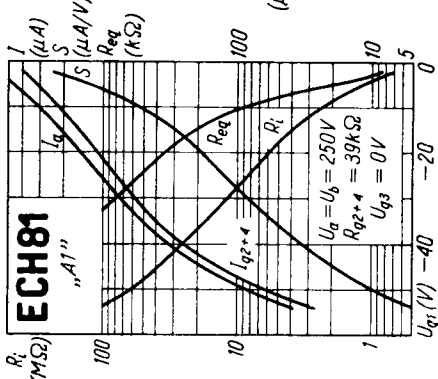
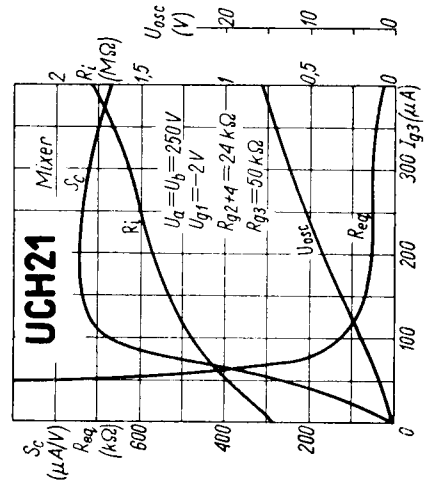
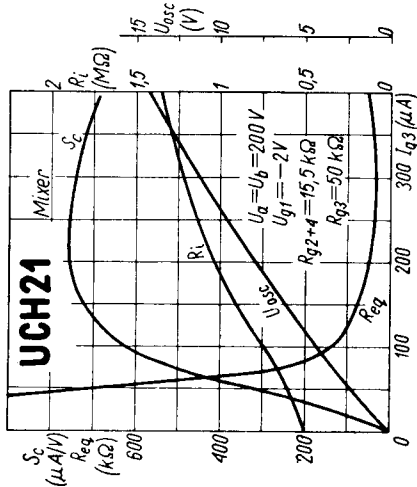
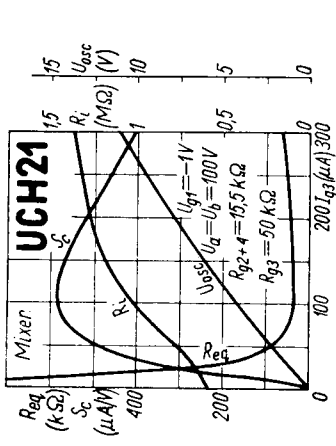
ECH 21 Fig. 3

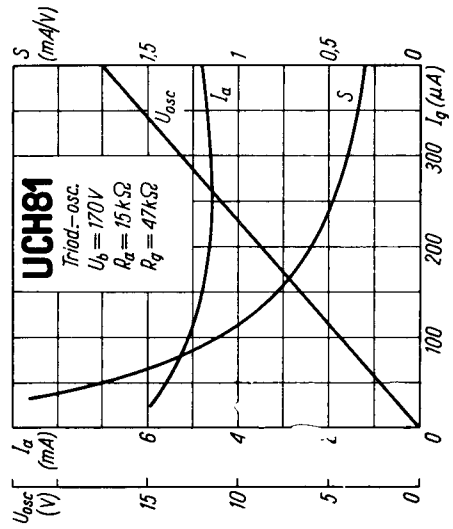
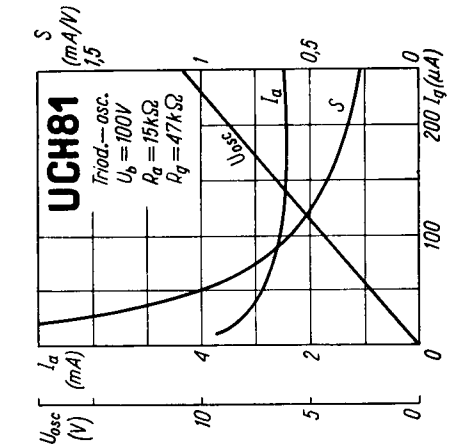
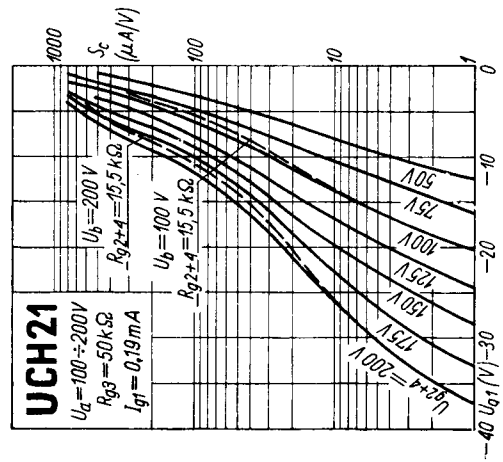
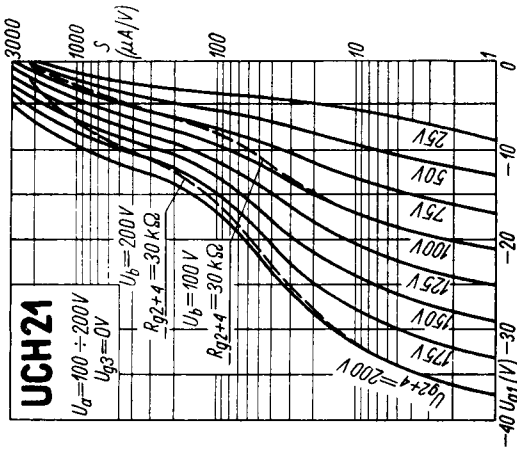
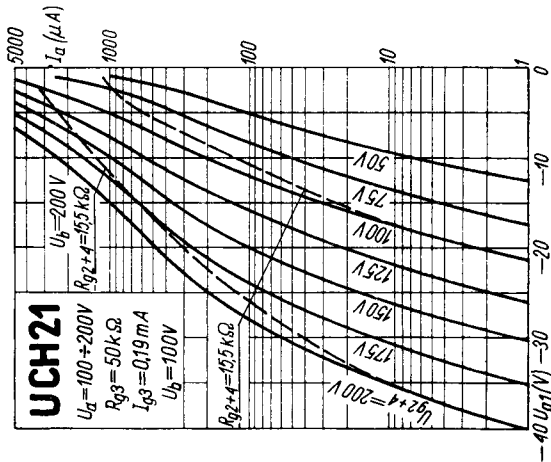
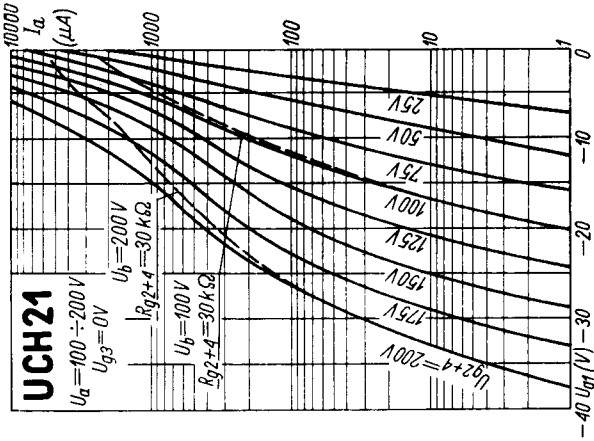
U_b	$R_{g^{2+4}}$	R_k	$I_{a(H-T)}$	$I_{g^{2+4}}$	$U_{g1\approx}$	$U_{a\approx}/U_{g1\approx}$	h
V	M Ω	Ω	mA	mA	V	%	%
100	0,18	700	1,1	0,4	0,15	65	3,1
200	0,18	700	2,1	0,8	0,13	75	2,5
250	0,25	650	2,5	0,75	0,1	100	0,8

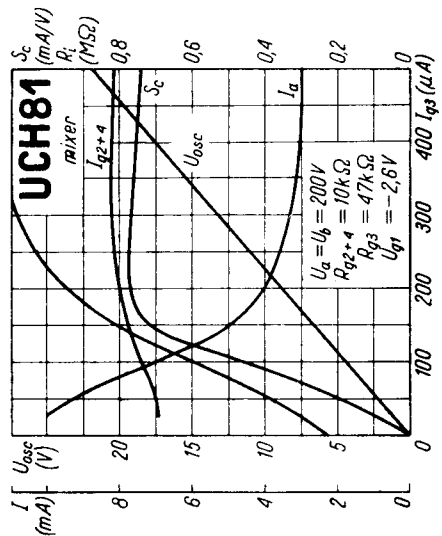
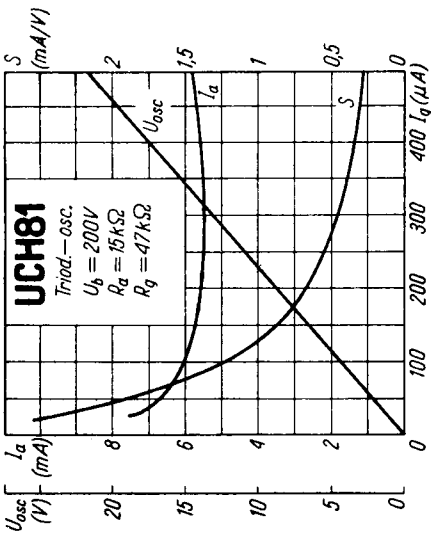
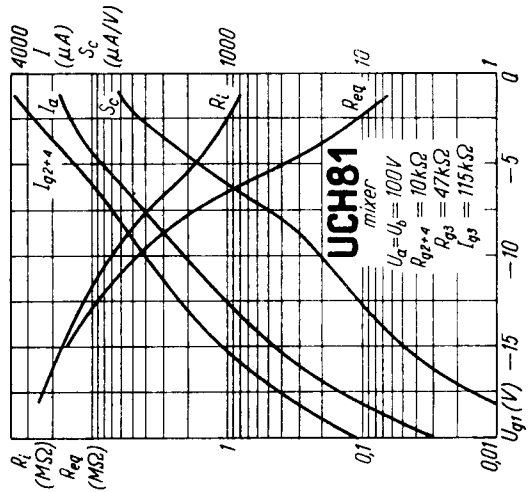
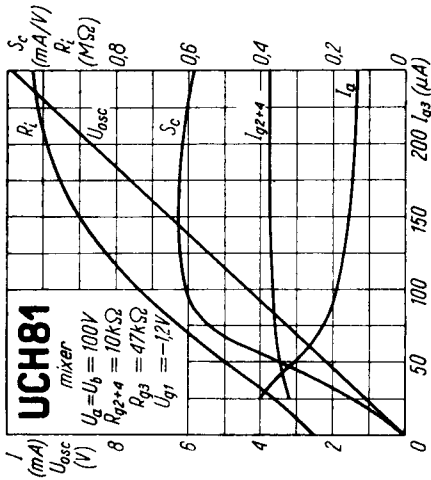
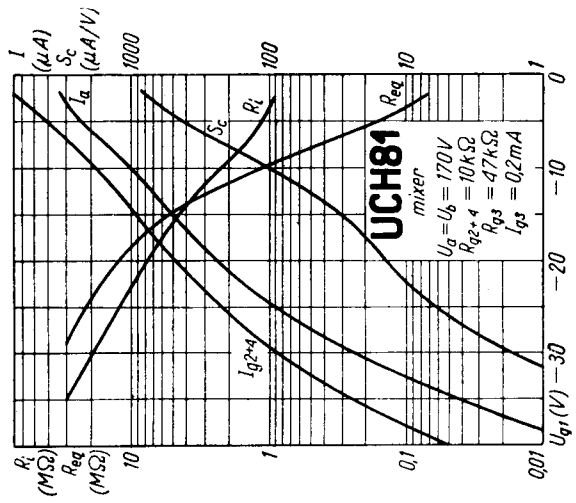
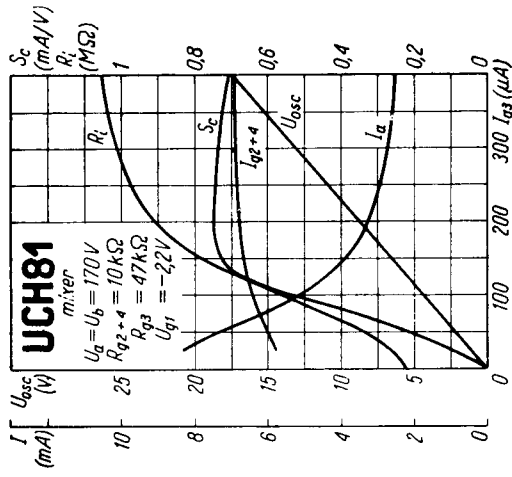


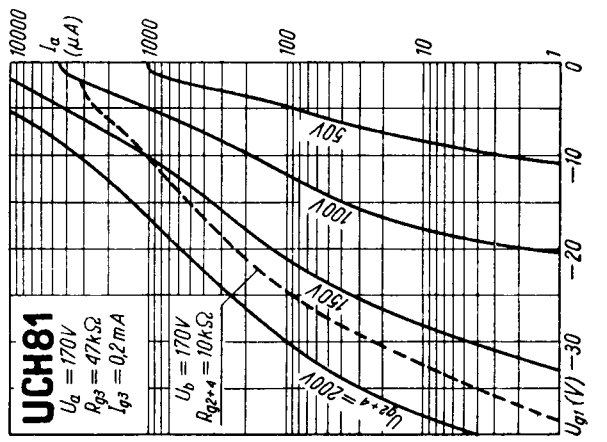
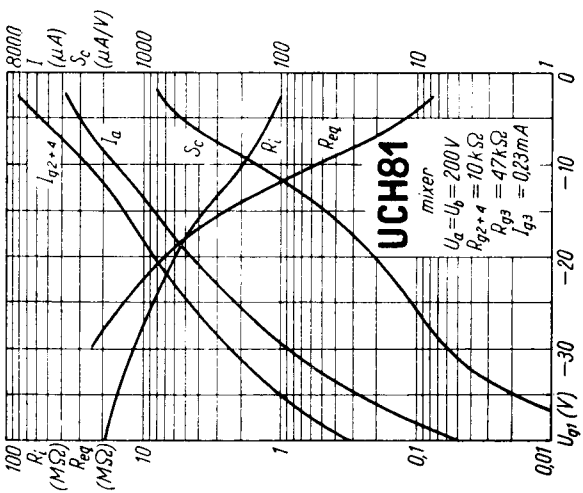
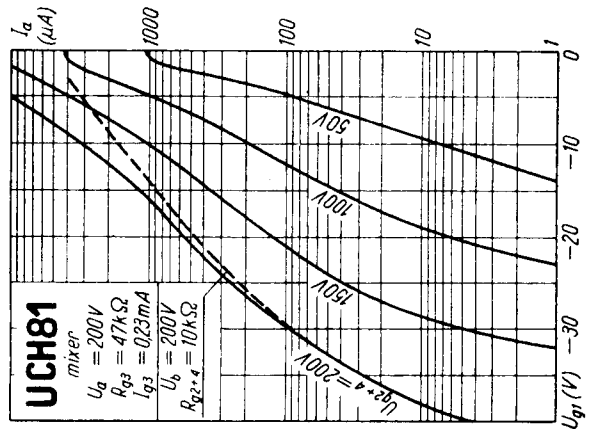
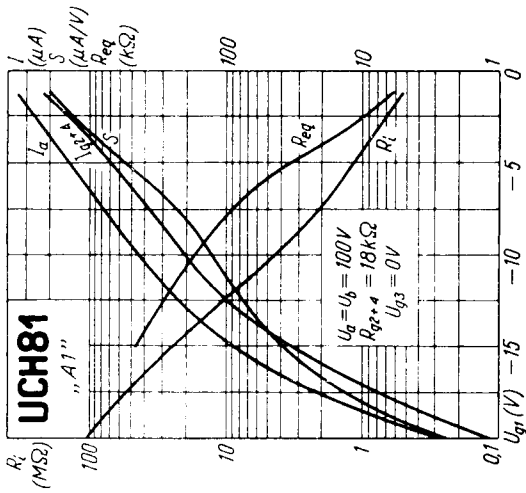
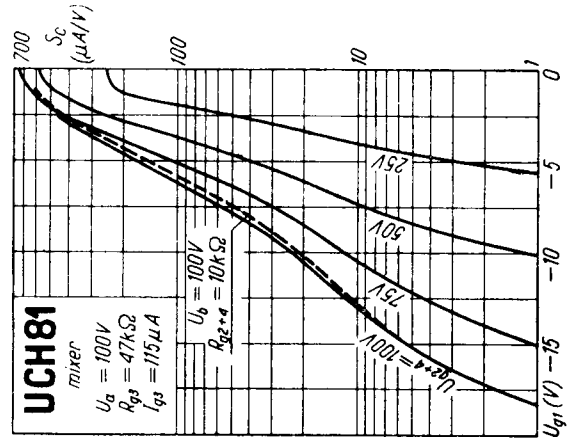
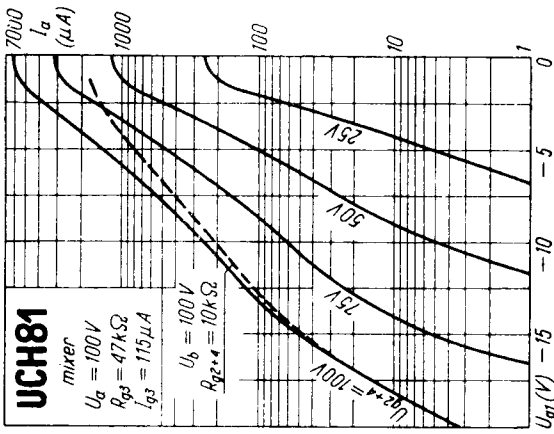


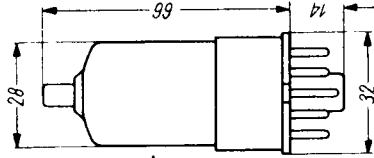
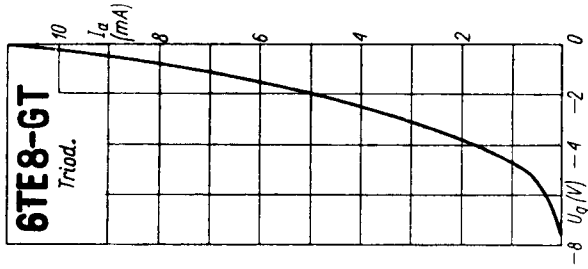












6TE8-GT
12TE8-GT

